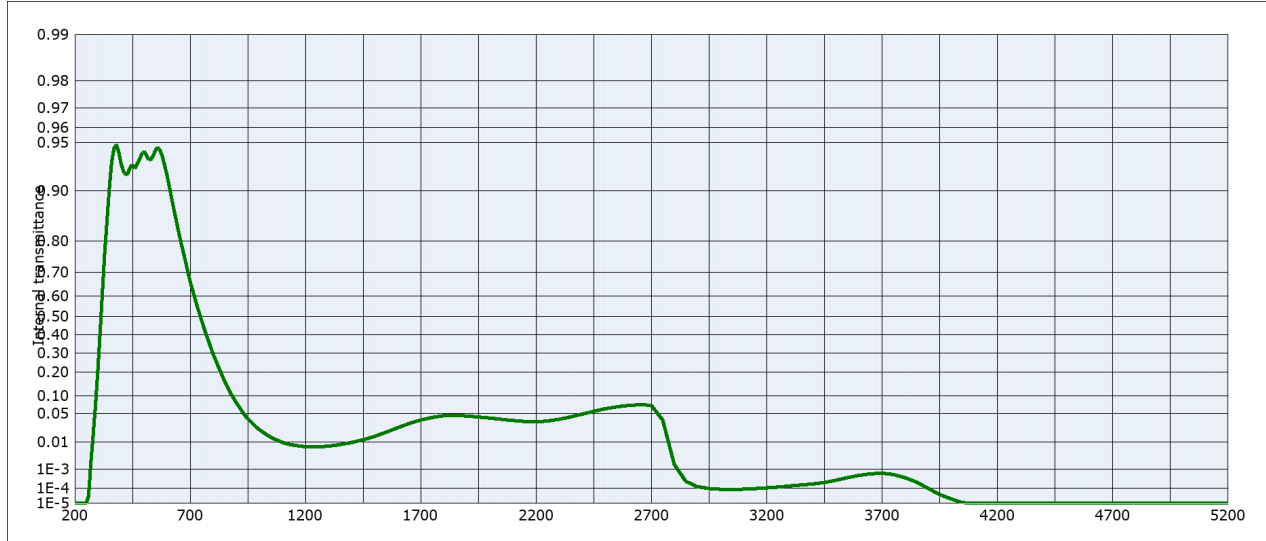


DATA SHEET

SCHOTT KG1



Internal transmittance τ_i at reference thickness $d = 2$ mm
The internal transmittance values, tabulated and graphically represented, are reference values only

λ [nm]	τ_i	λ [nm]	τ_i	λ [nm]	τ_i	λ [nm]	τ_i	λ [nm]	τ_i	λ [nm]	τ_i
200	$< 10^{-5}$	500	0.943	800	0.294	1100	$9.9 \cdot 10^{-3}$	2200	$3.4 \cdot 10^{-2}$	3700	$6.6 \cdot 10^{-4}$
210	$< 10^{-5}$	510	0.940	810	0.265	1110	$9.4 \cdot 10^{-3}$	2250	$3.5 \cdot 10^{-2}$	3750	$5.7 \cdot 10^{-4}$
220	$< 10^{-5}$	520	0.936	820	0.235	1120	$9.0 \cdot 10^{-3}$	2300	$3.8 \cdot 10^{-2}$	3800	$4.0 \cdot 10^{-4}$
230	$< 10^{-5}$	530	0.936	830	0.208	1130	$8.6 \cdot 10^{-3}$	2350	$4.3 \cdot 10^{-2}$	3850	$2.4 \cdot 10^{-4}$
240	$< 10^{-5}$	540	0.940	840	0.182	1140	$8.4 \cdot 10^{-3}$	2400	$4.9 \cdot 10^{-2}$	3900	$1.0 \cdot 10^{-4}$
250	$< 10^{-5}$	550	0.944	850	0.158	1150	$8.2 \cdot 10^{-3}$	2450	$5.5 \cdot 10^{-2}$	3950	$4.2 \cdot 10^{-5}$
260	$3.5 \cdot 10^{-5}$	560	0.946	860	0.138	1160	$8.0 \cdot 10^{-3}$	2500	$6.2 \cdot 10^{-2}$	4000	$2.1 \cdot 10^{-5}$
270	$2.0 \cdot 10^{-3}$	570	0.944	870	0.121	1170	$7.7 \cdot 10^{-3}$	2550	$6.7 \cdot 10^{-2}$	4050	$1.1 \cdot 10^{-5}$
280	$1.7 \cdot 10^{-2}$	580	0.939	880	0.105	1180	$7.6 \cdot 10^{-3}$	2600	$7.1 \cdot 10^{-2}$	4100	$< 10^{-5}$
290	$7.3 \cdot 10^{-2}$	590	0.930	890	$9.1 \cdot 10^{-2}$	1190	$7.5 \cdot 10^{-3}$	2650	$7.3 \cdot 10^{-2}$	4150	$< 10^{-5}$
300	0.210	600	0.920	900	$8.0 \cdot 10^{-2}$	1200	$7.3 \cdot 10^{-3}$	2700	$7.1 \cdot 10^{-2}$	4200	$< 10^{-5}$
310	0.419	610	0.906	910	$6.9 \cdot 10^{-2}$	1250	$7.2 \cdot 10^{-3}$	2750	$3.7 \cdot 10^{-2}$	4250	$< 10^{-5}$
320	0.622	620	0.889	920	$6.0 \cdot 10^{-2}$	1300	$7.6 \cdot 10^{-3}$	2800	$1.6 \cdot 10^{-3}$	4300	$< 10^{-5}$
330	0.769	630	0.869	930	$5.2 \cdot 10^{-2}$	1350	$8.5 \cdot 10^{-3}$	2850	$2.5 \cdot 10^{-4}$	4350	$< 10^{-5}$
340	0.850	640	0.848	940	$4.5 \cdot 10^{-2}$	1400	$9.8 \cdot 10^{-3}$	2900	$1.3 \cdot 10^{-4}$	4400	$< 10^{-5}$
350	0.904	650	0.823	950	$4.0 \cdot 10^{-2}$	1450	$1.2 \cdot 10^{-2}$	2950	$9.9 \cdot 10^{-5}$	4450	$< 10^{-5}$
360	0.934	660	0.797	960	$3.5 \cdot 10^{-2}$	1500	$1.5 \cdot 10^{-2}$	3000	$8.9 \cdot 10^{-5}$	4500	$< 10^{-5}$
370	0.946	670	0.769	970	$3.2 \cdot 10^{-2}$	1550	$1.9 \cdot 10^{-2}$	3050	$8.6 \cdot 10^{-5}$	4550	$< 10^{-5}$
380	0.949	680	0.738	980	$2.8 \cdot 10^{-2}$	1600	$2.5 \cdot 10^{-2}$	3100	$9.0 \cdot 10^{-5}$	4600	$< 10^{-5}$
390	0.943	690	0.702	990	$2.5 \cdot 10^{-2}$	1650	$3.1 \cdot 10^{-2}$	3150	$9.7 \cdot 10^{-5}$	4650	$< 10^{-5}$
400	0.933	700	0.664	1000	$2.2 \cdot 10^{-2}$	1700	$3.7 \cdot 10^{-2}$	3200	$1.1 \cdot 10^{-4}$	4700	$< 10^{-5}$
410	0.925	710	0.628	1010	$2.0 \cdot 10^{-2}$	1750	$4.2 \cdot 10^{-2}$	3250	$1.2 \cdot 10^{-4}$	4750	$< 10^{-5}$
420	0.921	720	0.592	1020	$1.8 \cdot 10^{-2}$	1800	$4.6 \cdot 10^{-2}$	3300	$1.4 \cdot 10^{-4}$	4800	$< 10^{-5}$
430	0.922	730	0.553	1030	$1.7 \cdot 10^{-2}$	1850	$4.6 \cdot 10^{-2}$	3350	$1.6 \cdot 10^{-4}$	4850	$< 10^{-5}$
440	0.928	740	0.517	1040	$1.5 \cdot 10^{-2}$	1900	$4.5 \cdot 10^{-2}$	3400	$1.8 \cdot 10^{-4}$	4900	$< 10^{-5}$
450	0.931	750	0.477	1050	$1.4 \cdot 10^{-2}$	1950	$4.3 \cdot 10^{-2}$	3450	$2.2 \cdot 10^{-4}$	4950	$< 10^{-5}$
460	0.927	760	0.439	1060	$1.3 \cdot 10^{-2}$	2000	$4.1 \cdot 10^{-2}$	3500	$2.9 \cdot 10^{-4}$	5000	$< 10^{-5}$
470	0.931	770	0.401	1070	$1.2 \cdot 10^{-2}$	2050	$3.8 \cdot 10^{-2}$	3550	$3.9 \cdot 10^{-4}$	5050	$< 10^{-5}$
480	0.936	780	0.366	1080	$1.1 \cdot 10^{-2}$	2100	$3.6 \cdot 10^{-2}$	3600	$5.1 \cdot 10^{-4}$	5100	$< 10^{-5}$
490	0.941	790	0.329	1090	$1.1 \cdot 10^{-2}$	2150	$3.4 \cdot 10^{-2}$	3650	$6.1 \cdot 10^{-4}$	5150	$< 10^{-5}$